

(17) システムロックボルト設計プログラムの開発

国鉄新幹線建設局 吉村 恒敬
国鉄鉄道技術研究所 ○土屋 敬

1. まえがき

国鉄ではトンネルの新しい工法としてシステムロックボルト工法の導入を積極的に計っている。ヨーロッパにおける施工例を参考に各現場で採用するとともに、実験およびFEMを中心とした解析と併行して行い、その支撑原理を解明し設計法の確立を怠りしている。

本報告では52年より開発している設計プログラムについて機能概要、入力データおよび解析実施例①～③について報告する。

2. プログラムの基本条件

ロックボルトの岩盤補強効果はいちじるしいものが多くのと知られているが、これまでの理論なし設計法ではこの効果を納得のいく形で十分説明しているものではなかった。有名な Rabcewicz の理論は力の約合のみにつけてしか考慮されていないのでこの理論では変位の管理を重視するシステムロックボルト工法には実際上役立たない。また最大抗力による力の約合を解いているので変位との関係で正しい力の約合を得てゐるのは疑問である。本プログラムの開発に当っては以上の点を改善するために以下の基本条件を織り込むことを目標とした。

- 変位と力が時間との関連で計算し得ること。
- ロックボルトの効果が十分生ずること。この場合ロックボルトの効果を他に置き換えるのではなく生ずるだけとのまゝの形で表現すること。
- ロックボルトの滑りを判定し得ること。
- 薄肉要素である覆工の適切なモデル化。

これらを満足するものとして基本的に岩盤塑性FEMを用いる。FEMは二次元平面ひずみによるが、切端の進行にともなう三次元的ひずみはクリープ屈曲の形で取扱う。すなわちクリープひずみとしては岩の物性によるクリープひずみを ϵ_{C1} の他に、切端の進行にともなうひずみを ϵ_{C2} として扱う。 ϵ_{C2} のロックボル

トの効果は地山の性状から三次元応力状態から二次元応力に移行するにしたがい劣化するが、ロックボルトにより三次元応力状態を維持し劣化を阻止しようとする点に着目する。 ϵ_{C1} は地山とロックボルトの間の附着力に不安がある場合に重要となる。 ϵ_{C2} としてはロッド要素、ビーム要素、格子構造の三方式と比較検討した。以上で含め本プログラムの概要を表1に示す。以下各項目に説明を加える。

表-1 プログラムの概要

要素種別	三角形平面歪要素 四角形 -----	地山のモデル化
ロッド要素		ロックボルトのモデル化 覆工のモデル化
ビーム要素		覆工のモデル化
特殊結合要素		ロックボルトと岩盤の結合状態を表す
掘削解析	掘削を追つての形状 変更の処理 掘削相当外力の計算	
非線型解析	増分法	
非線型材料特性	日比野・庄子等の方法	
クリープ解析	初期歪法によるクリープ解析	

3. ロックボルトの表し方

ロックボルトはロッド要素と特殊結合要素の組合せにより表現する。ロックボルトと岩の結合状態を表わすのに特殊結合要素(バネ要素)の剛性と応力の状態により変化させて評価する。すなわち堅固に結合されていると見做せる状態では $K=\infty$ (実際にはロックボルトの軸方向剛性に比較して十分大きな有限の値)とし、滑っていると見做せる状態では 0.0 (に近い値)とする。

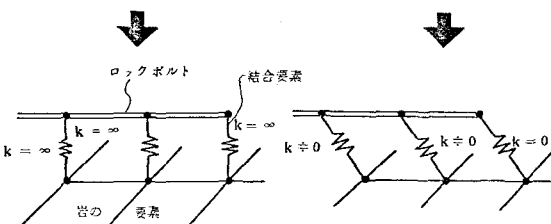
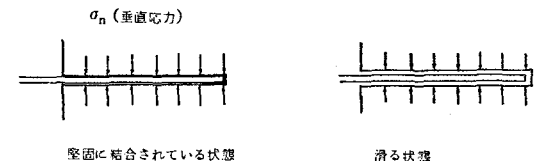


図1 特殊結合要素の機能

滑りの判定には、個々の結合要素ごとにロックボルトおよび岩盤に対する支配中を決め、その区间内における岩盤の平均垂直応力 $\bar{\sigma}_n$ と、結合要素の節点における左右のロックボルトの軸力の差 N_j により判定を行なう。すなわちボルトの軸力差 N_j が節点 j を滑らしうとする力であり、これが $\bar{\sigma}_n$ から定まるこの区間の引抜耐力より小さければ堅固に結合されているものとする。

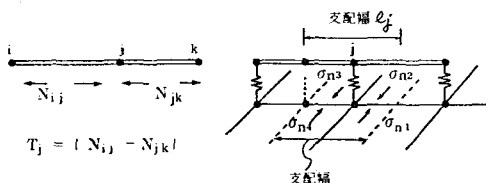


図2 ロックボルトの軸差力と締め付け力

ロックボルトの表面は異型処理がなされ附着性はないので一般に滑り面はモルタルと地山の境界で発生する。

境界でのせん断抵抗

$$\tau_r = C + \bar{\sigma}_n \tan \phi \quad (1)$$

C: 地山上充填材との間の粘着力

φ: " 摩擦角

$$\bar{\sigma}_n = (\sigma_1 + \sigma_2 + \sigma_3 + \sigma_4) / 4 \quad (2)$$

軟岩では C, 中は地山の C, 中に支配される。

これより、引抜耐力は

$$R_j = 2\pi Y l_j \tau_r \\ = 2\pi Y l_j (C + \bar{\sigma}_n \tan \phi) \quad (3)$$

Y: 孔径 (モルタル孔)

l: 支配中

ロックボルトの節点 j における軸力差 N_j が二点に

ある引抜耐力 R_j を超えると、その節点でロックボルトと節点は滑るものとして特殊結合要素の剛性 k を $0 \cdot 0$ (近い値) とする。

このとき、それまでバネにかかっていた力 N_j を不釣合力として再分配を行う。

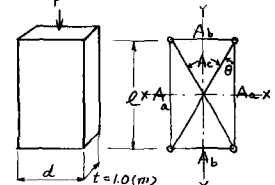
4. 覆工の表し方

i) ビーム要素

覆工を平面要素でモデル化するとタテ・ヨコ比の大きさが要素となり誤差が大きくなる。このため覆工は他の何らかの要素で表現する必要がある。このため最も単純な要素としてはビーム要素が考えられる。しかしながら要素により解放した結果では隣接した節点で折線状のモーメントが発生した。これは隣接節点のトンネル内室との変位量の誤差が土の波動として発生するための誤差モーメントと推定され、全体としてのモーメントが比較的小さいためにこれが卓越し正しいモーメントを表さない場合が多い。

ii) 格子構造 (ラティス・ワーク)

図3に示すようなロック要素より構成される格子構造は軸剛性と曲げ剛性を覆工と同じくするこによりほい覆工と等価な変形性状を示す。



ロックの断面積を適当に選ぶことにより等価な剛性を得るのであるが、 A_b については次のように考えられる。格子構造に荷重 P が作用すると斜材の変形のために平行部材は接近する方法に変位する。密実な部材に荷重 P が作用する場合、これとは逆に平行な二面は離れる方法に変位する。こでは A_b の剛性を十分大きく取ることで X 軸方向の変位はないものとする。

覆工の曲げ剛性 I_1 は

$$I_1 = \frac{d^3}{12} + (n-1) I_S \quad (4) \quad (\text{単位: m})$$

n: ヤング係数比

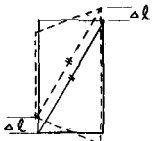
I_S : 支保工のトンネル延長 1m 当り断面 2 次モーメント

格子構造の曲げ剛性は単純曲げによっては斜材長は変化しないので A_a のみによって決まり

$$I_2 = \left(\frac{d}{2}\right)^2 \times A_a \times 2 \quad (5)$$

$$I_1 = I_2 \text{ より}$$

$$A_a = \frac{d}{6} + 2(n-1) \frac{I_a}{d} \quad (6)$$



覆工の軸剛性は

$$A_1 = d + (n-1) A_s \quad (7)$$

(6)

A_s : 支保工の1m当たり断面積

の単純曲げ

各ロット要素の軸力を P_a, P_b, P_c とすると釣合より

$$P = 2(P_a + P_c \cos \theta) \quad (8)$$

各ロットの縮み量を $\delta_a, \delta_b, \delta_c$ とすると

$$\left. \begin{aligned} P_a &= \frac{A_a E}{l} \delta_a \\ P_c &= \frac{A_c E}{l'} \delta_c = \frac{A_c E \cos \theta}{l} \delta_c \end{aligned} \right\} \quad (9)$$

一方変位の適合性より

$$\delta_c = \delta_a \cos \theta \quad (10)$$

$$P_c = \frac{A_c E \cos^2 \theta}{l} \delta_a \quad (11)$$

(9), (11)を(8)に入れると

$$\frac{P}{\delta_a} = \frac{E}{l} (2A_a + 2A_c \cos^2 \theta) \quad (12)$$

すなわち格子棒構造の軸剛性 A_2 は

$$A_2 = 2A_a + 2A_c \cos^2 \theta \quad (13)$$

$$A_1 = A_2 \text{ より} \quad (14)$$

$$A_c = \frac{d + (n-1)A_s - 2A_a}{2 \cos^2 \theta} \quad (14)$$

このようにして定めた格子棒構造で覆工を表現してFEM計算を解き、算出されたロット軸力より覆工に作用する軸力およびモーメントを求め、これより応力を算出する。

iii) ロット要素

ロット要素は両端ヒンジの棒構造でありこれまで覆工に用いた場合にはモーメントが計算できない。しかし覆工は本来アーチの性格が強い構造形をしており主として軸力により計抗するのでロット要素として解析しても大きな誤差を感じない場合が多い。四角に近い断面形で全断面強制とする場合はこれに従う。また吹付コンクリートは極めて薄肉でしかも推削直後に施工され大変形を受けるのでクラックが発生すると考えられる場合が多く、この意味からもロット要素を利用価値は大きい。

5. 覆工の材料特性

覆工の材料特性として用ひているのは弾性係数たりであるか、終目的に向段階かに変化させて用ひる。初から最終的な弾性係数を用いると、変形は過小に、覆

工応力は過大に計算されて実際の現象と合わない。吹付コンクリートにおける次の3段階を用いている。

0~4日 $20,000 \text{ kg/cm}^2$, 5~14日 $50,000 \text{ kg/cm}^2$,

15日以上 $150,000 \text{ kg/cm}^2$

b. 地山の非線型材料特性

地山の非線型材料特性の表し方としては主として日比野・庄子等の方法を用いている。(Duncanの方法も使用可能)これを用いた主な理由は電力中研等においてこれまですでに用いられており各種岩盤について比較的資料が得られやすいと判断したためである。

この考え方はモールの応力円と破壊条件式との関係より破壊接近度 R を定義し、 R を塑変数とした特性値を与える。

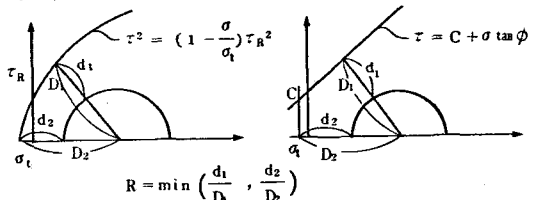


図6 破壊接近度の定義

R の定義は図8に示す通りであるが、最も安定な状態では $R=1$ 、破壊包絡線に接すると $R=0$ となり、通常は $1 \sim 0$ の間にある。変形係数 D とボアソン比 v がこの R との関係で定まるもととし式(16), (17)を実験的に定めている。

$$\frac{D}{D_0} = R^n + (1-R) \frac{D_f}{D_0} \quad (16)$$

$$v = v_0 R^n + (1-R) v_f \quad (17)$$

$= 1$

D_0, v_0 : 最も安定した状態における変形係数とボアソン比

D_f, v_f : 破壊時における値

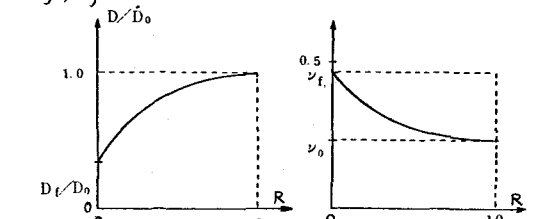


図7 破壊接近度と変形係数、ボアソン比の関係

v は直線に因るパラメータで実験により定められるが、砂などでは 1 に近く、十分固結した岩では 2

に近く、軟岩では 1 ~ 2 と報告されている。

D_f は試験よりではなかなか定め難い値であり、実際には解析と実測の比較のつか重ねにより定められて行く必要がある。著者は

目的の達成する岩では $D_f = 0.1 \sim 0.05 D_0$

粘土、砂等の土層では $D_f = 0.5 \sim 0.2 D_0$

を用いている。

空洞掘削がなされると応力が解放され変位が生ずるが、二次元的な応力状態から偏圧状態に移行し破壊状態すなわち $R = 0$ の状態に接近し変形係数が低下するためさらに変形が増大する。支保工、ロックボルトおよび覆工は直接の変位阻止効果の他に、地山物性値の低下を阻止するなどにより安定化に役立つ。

破壊条件式としては通常直線式を用い、岩石三軸試験により C , ϕ , D_0 を定めている。

同一地山について掘削前の初期応力における $R (= R_0)$ とすると一般に深さとともに小さくなる。このため変形係数が深いほど小さくなり常識的ではないので $R = \frac{R}{R_0}$ (18)

と置き直し初期状態からの R の変化に対しての変形係数を低下させるという手法も用いている。

7. クリープ解析

三次元の解析あるいは地表沈下の実測等によれば切端通過時のひずみ内至波下は最終量の約30%でありその後の変化はクリープ屈曲的である。そこでクリープ解析は先に述べたごとく岩のクリープによるひずみ ϵ_{cl} を計算することに他のに切端の進行によってなう三次元的ひずみ ϵ_{cl} の進行を計算するために利用する。

$$\epsilon_c = \epsilon_{cl} + \epsilon_{ee} \quad (19)$$

クリープ係数としては Voigt モデルを用い

$$\epsilon_{cl} = \alpha_1 \epsilon_e (1 - e^{-\beta_1 t}) \quad (20)$$

ϵ_e は弾性ひずみであるが、これは全弾性ひずみの約30%に相当する見かりの弾性ひずみである。したがって ϵ_e を求めるときには $\frac{D}{0.3} \div 3D$ の変形係数を用いること、これにとなって真のクリープ係数も $\alpha_1 = 3d_1$ を用いる。

膨張性地山を除き一般には $\alpha_1 \ll \alpha_2$ すなわち三次元応力の解放によるひずみの方が大きい。このひずみは開孔直徑 a の 2 倍程度進むとほぼ完了すると報告

されている。今 $2a$ 進行した地点のひずみの進行度と 90% とすると、

$$0.9 = (1 - e^{-\beta_2 t}) \therefore \beta_2 t = 2.3 \quad (21)$$

これより $2a$ 進むに要する日数を予測すれば、 β_2 を定めることが出来る。

表 2 β_2 の標準値($/day$)

岩種 断面	標準値		
	I	II	III
新幹線	0.23	0.29	0.40
在複	0.27	0.35	0.42
在單	0.46	0.60	0.75

の進行が出来るとすると、表 2 のように断面岩種に応じて $\beta_2 = 0.2 \sim 0.8$ となる。

$$\alpha_2 = \frac{0.7}{0.3} \div 2 \text{ を用いる。}$$

α_1 , β_1 は物性試験により定める。

8. 解析手法、解析のフロー

掘削の各段階を追って最終段階まで連続的に解析が可能である。掘削の解析は掘削面に本う節点に掘削前に存在していた節点力と逆向きの外力を掘削相当外力として加えることにより節点力を零にする方法によっているが、材料非線形性を考慮してこの外力を数ステップに分割して加える。解析法としては増分法によっている。すなわち 1 ステップ前の応力状態での破壊接近度 R から変形係数、ボアソン比を定めこれによりひずみ増分を計算し加算する方法である。クリープ解析は 2 ステップが全部終了して後に必要なタイミング毎になされる。ロックボルト、覆工の追加は任意の段階において行うことができる。このようにして 1 つの形状変更ステップが終了すると次の形状変更ステップに進む。

格子構造を用いた場合の断面力の逆算ならびに各部材の応力算出のために後処理計算が必要である。

8. あとがき

今後のプログラムの改良が必要であるが、物理的な意味にはあまり取れず、現象を表現するための一手段として使う方に工夫をこらして行くのが実際的である。国鉄では現在、破壊モードや字佐美トンネルの困難の予想されたトンネルについての設計に用いており、一般的のトンネルについては標準設計の検討に生かすなどかなりの実績をあげている。

COMPUTER PROGRAM OF DESIGN FOR
SYSTEM ROCK-BOLT TUNNELLING METHOD

Hisashi YOSHIMURA
Takashi TSUCHIYA,
JAPANESE NATIONAL RAILWAYS

JNR has been positively adopting so-called "System Rock-bolt Method" as a new tunnelling method. In order to improve it further, experimental research has been carried out to clarify the reinforcing mechanism of the rock-bolt and the calculation program for the design has been developed.

This report deals with the design program and includes the following;

1. Basic conditions for the programming.
2. Evaluation for the reinforcing effect of the rock-bolt.
3. Stability (Sliding) condition of rock-bolt.
4. Various structural models of the tunnel lining for Finite Element Method.
5. Time-dependent property of concrete lining.
6. Non-linear property of the surrounding rocks.
7. Time-dependent displacements and stresses of the tunnel structures.
8. Procedure and flow for the analysis of the tunnelling method.

This program is now successfully used for the tunnels such as Narita Air Port Tunnel and Usami Tunnel, which are extremely difficult to construct by means of usual method, and also used for preparation of the standard design of the system rock-bolt tunnels.